

استفاده از تبدیل PCA مکانی جهت ادغام تصاویر چندطیفی و تکرنگ

حمیدرضا شاهدوسنی و محمدحسن قاسمیان

دانشکده مهندسی برق و کامپیوتر، دانشگاه تربیت مدرس، تهران، ایران

چکیده

هدف نهایی ادغام تصاویر، به دست آوردن تصویری است که به طور هم زمان دقّت مکانی و طیفی بالایی داشته باشد. الگوریتم PCA استاندارد که به طور معمول در ادغام تصاویر به کار می رود، منجر به تخریب اطلاعات طیفی در تصویر ادغام شده می شود. در این مقاله، به منظور جلوگیری از نقطه ضعف الگوریتم PCA استاندارد، از تبدیل PCA مکانی به عنوان روشی نوین در ادغام تصاویر چندطیفی و تکرنگ استفاده و استدلال می شود که روش ارائه شده، کارایی بالاتری در حفظ اطلاعات طیفی و مکانی دارد. در انتهای مقاله یک روش ارزیابی نوین معرفی و استدلال می شود که این روش ارزیابی، کارتر از روش متداول اطلاعات متقابل است. تصاویر ادغام شده، با استفاده از روش پیشنهادی و سایر روش های رایج مانند: همبستگی خطی، UIQI، SAM، ERGAS، و اطلاعات متقابل ارزیابی می شوند و برتری الگوریتم پیشنهادی در حفظ اطلاعات مکانی و طیفی نسبت به سایر الگوریتم ها نشان داده می شود.

واژگان کلیدی: ادغام تصاویر، تصاویر تکرنگ، تصاویر چندطیفی، PCA استاندارد، PCA مکانی.

۱- مقدمه

طیف فروسرخ اخذ شده، دقّت طیفی بالاتری نسبت به تصویری دارد که از تمام طیف فروسرخ اخذ شده است). الگوریتم های موجود به منظور ادغام تصاویر در سه دسته کلی زیر قرار دارند(Daneshvar, 2011): ۱- روش های مبتنی بر جایگذاری مانند: IHS، PCA، استاندارد، گرام اش- سمیت (González, 2004)، (Cakir2008) و (Laben,2000). ۲- روش های مبتنی بر ضرب و جمع مانند: براوی، SVR و Pohl 1998)RE. ۳- روش های مبتنی بر تجزیه چنددقّتی که در این روش ها، ویژگی های مکانی از تصویر تکرنگ استخراج و سپس به تصاویر چندطیفی تزریق می شود. روش هایی چون موجک بدون کاهش بعد، کانتورلت بدون کاهش بعد و روش مدولاسیون بالاگذر در این دسته قرار می گیرند(Ghassemian 2001)، (Wilson 1997) و (Nuñez 1999).

ماهوراهای مشاهده گر زمین، تصاویر را در باندهای مختلف طیف الکترومغناطیسی تهیه می کنند. به منظور ثابت نگاه داشتن نسبت سیگنال به نوفة تصاویر دریافتی، تصویری که دقّت مکانی بالایی دارد، دقّت طیفی پایین و تصویری که دقّت طیفی بالایی دارد دقّت مکانی پایین خواهد داشت. با استفاده از یک الگوریتم مناسب، می توان این دو تصویر را که اولی اطلاعات مکانی و دومی اطلاعات طیفی دارد، به گونه ای ترکیب کرد که به یک تصویر با دقّت مکانی و طیفی بالا بررسیم(Ghassemian, 2001)، (Ghassemian, 2009). منظور از دقّت مکانی، قابلیت تفکیک مکانی یا همان وضوح مکانی است و هنگامی که تصویری دارای دقّت مکانی بیشتری باشد، جزئیات بیشتری از صحنه قابل مشاهده است. هنگامی که تصویری دقّت طیفی بالایی داشته باشد، اطلاعات صحنه را در محدوده کمی از طیف الکترومغناطیسی اخذ کرده است (تصویری که از قسمتی از

۲- روش PCA استاندارد

تبديل PCA، بهطور کلی یک روش آماری است. اين تبديل چند داده را که با يكديگر همبستگي دارند، به داده هاي که با يكديگر همبستگي ندارند تبديل می کند. روش PCA استاندارد در ادغام تصاویر، با استفاده از يك تبديل خطی، داده ها را از فضای چندطيفي به فضای بردار هاي ويژه تصوير می کند(González 2004). با فرض اينکه X يك مجموعه تصاویر چند طيفي باشد تبديل PCA به صورت زير تعریف می شود:

$$Y = A^T X \quad (1)$$

که در رابطه (1)، ماتريس A ، بردار ويژه هنجار سازی شده ماتريس کواريانس بردار X است. بنابراین کواريانس ماتريس متغير Y قطری خواهد بود:

$$C_y = E\{(Y - m_y)(Y - m_y)^T\} = AC_x A^T = \begin{pmatrix} \lambda_1 & 0 & \dots & 0 \\ 0 & \lambda_2 & \dots & \dots \\ \vdots & \vdots & \ddots & \vdots \\ 0 & \dots & \dots & \lambda_n \end{pmatrix} \quad (2)$$

که در رابطه (2) $\lambda_1 > \lambda_2 > \dots > \lambda_n$ برقرار است. مؤلفه اول اصلی به دست آمده از تبديل PCA، همبستگي زيادي با تصاویر چندطيفي اوليه به کار رفته در تبديل PCA دارد و مؤلفه اول اصلی در الواقع اطلاعات مشترک بين باندهای طيفي است (González, 2004). اما اطلاعات متفاوت و اختصاصي باندهای طيفي مختلف، در مؤلفه هاي دیگر تبديل PCA قرار دارند. اطلاعات مشترک بين تصاویر چند طيفي بيانگر اطلاعات مکاني است و بنابراین مؤلفه اول اصلی حاوي اطلاعات مکاني تصاویر چند طيفي است. پس در ادغام تصاویر با استفاده از روش PCA استاندارد، ابتدا تصاویر چندطيفي و پانکروماتيك با يكديگر هم ابعاد می شوند (با استفاده از درون يابي، ابعاد تصاویر چندطيفي که کوچک تر از تصاویر تکرنگ هستند، با ابعاد تصاویر تکرنگ برابر می شوند). سپس با استفاده از تبديل PCA مؤلفه اول اصلی تصاویر چندطيفي به دست می آيد. در ادامه هيستوگرام تصوير تکرنگ، با هيستوگرام مؤلفه اول اصلی تطابق داده می شود؛ سپس تصوير تکرنگ تطبیق داده شده با مؤلفه اول اصلی جاي گذاري می شود و در انتهای معکوس تبديل PCA اعمال می شود (Valavi 2004).

$$X = A^{-1} Y \quad (3)$$

معکوس تبديل PCA که در رابطه (3) نشان داده شده است، تصاویر ادغام شده را به ما خواهد داد. در حقیقت در این روش، اطلاعات مکاني و اطلاعات طيفي تصاویر

روش هاي که در دسته اول و دسته دوم معرفى شدن، بيشترین کاربرد را در ادغام تصاویر دارند؛ زيرا در عين سادگي، کارايي خوبی از خود نشان می دهنده. اگر چه اين روش ها، اطلاعات مکاني را به خوبی حفظ می کنند، اما تمامی اين روش ها منجر به تخريب اطلاعات طيفي در تصاویر ادغامي خواهند شد. از اين روالگوريتم هاي که در اين دسته ها قرار می گيرند، بهمنظور ادغام تصاویر چندان مناسب نیستند (Daneshvar, 2011) و (González, 2004).

با معرفى الگوريتم هاي تجزيه چنددقتی، مانند

موجکها و کانتورلتها (Mahyari 2011)، پيشرفت چشم گيري در ادغام تصاویر حاصل شد. بهطوری که نتایج ادغام با نتایج حاصل از الگوريتم هاي پيشين قابل مقایسه نبود. الگوريتم هاي مبتنی بر موجک و کانتورلت قادر به حفظ اطلاعات طيفي هستند و کارآي آنها روزبه روز در حال بهبود است. اما اين روش ها هنگامي مناسب هستند که نسبت دقت مكانی تصاویر تکرنگ به تصاویر چندطيفي (n) توانی از ۲ باشد (Wang 2005). بنابراین در شرایطي که نسبت دقت مكانی تصوير چندطيفي است.

الگوريتم هاي دسته اول و دوم معرفى شده، قادرند در شرایطي که نسبت دقت مكانی n ، توانی از ۲ نیست، تصاویر را ترکيب کنند؛ اما همان طور که ذکر شد، اين الگوريتم هاي قادر به حفظ اطلاعات طيفي در تصوير ترکيب شده نیستند. در اين مقاله، روش نوين PCA مكانی بهمنظور ادغام تصاویر معرفی خواهد شد که از نظر ساختار، جزء دسته اول روش هاي ادغام قرار می گيرد اما به خوبی می تواند اطلاعات طيفي را حفظ کند. علت حفظ اطلاعات طيفي در بخش (۳) توضیح داده خواهد شد.

اين مقاله مشتمل بر پنج بخش است. در بخش دوم الگوريتم PCA استاندارد در ادغام تصاویر مرور می شود. در بخش سوم الگوريتم PCA مكانی ارائه خواهد شد. ارزیابي نتایج حاصل از روش پيشنهادي و دیگر روش هاي موجود در بخش چهارم خواهد آمد و در بخش پنجم، نتایج حاصل از مقاله، بهطور كامل بيان خواهد شد.

فصل نهم



تصاویر چندطیفی که شامل اطلاعات طیفی با دقت بالا هستند، جای‌گذاری می‌کنیم. هنگامی که نسبت دقت مکانی تصاویر چندطیفی و تکرنگ برابر با n باشد، مراحل این الگوریتم به صورت زیر است:

- تصویر تکرنگ را به صورت ماتریس‌های $n \times n$ تجزیه کن.

- هر یک از ماتریس‌های به دست آمده را در یک بردار قرار بده و تبدیل PCA را بر روی این بردارها اعمال کن و مؤلفه‌های اصلی را به دست آور. همان‌طور که مشخص است، ابعاد تصویر مؤلفه‌های اصلی به دست آمده، با ابعاد تصویر چندطیفی برابر است. زیرا ابعاد ماتریس‌های انتخاب شده n است و از طرفی نسبت دقت مکانی تصویر تکرنگ به تصویر چندطیفی نیز برابر n است. در حقیقت تعداد ماتریس‌هایی که از تجزیه تصویر تکرنگ به دست می‌آیند، برابر با تعداد پیکسل‌های تصویر چندطیفی است.

- یکی از باندهای تصاویر طیفی را با مؤلفه اول اصلی تطبیق هیستوگرام بده و تصویر حاصل را به جای مؤلفه اول اصلی قرار بده. با استفاده از این جای‌گذاری، در حقیقت اطلاعات هر پیکسل از تصویر طیفی را به جای اطلاعات مشترک هر ماتریس $n \times n$ قرار داده‌ایم که هر پیکسل از تصویر طیفی و هر ماتریس $n \times n$ از تصویر تکرنگ، متعلق به یک قسمت از تصویر هستند.

- تبدیل معکوس PCA را اعمال کن. تصویر ادغام شده به دست آمده است.

- مراحل ۳ و ۴ را برای دیگر باندهای تصاویر طیفی نیز انجام بده تا همه باندهای ادغام شده به دست آید.

چون تصویر مؤلفه اول اصلی با تمامی تصویر طیفی جای‌گذاری شده است، تصاویر ادغام شده در این روش شامل همه اطلاعات طیفی خواهد بود بنابراین این روش می‌تواند اطلاعات طیفی را به خوبی حفظ کند. به‌طور کلی نتایج ارزیابی‌ها (Núñez 1999) نشان می‌دهد که تبدیلاتی مانند موجک، کانتورلت و... که در حوزه مکان اعمال می‌شوند، PCA استاندارد که در حوزه طیف اعمال می‌شوند، حفظ می‌کنند و از طرفی موجب تزریق درست‌تر اطلاعات مکانی می‌شوند. چون تبدیل PCA مکانی نیز همانند تبدیلات موجک و کانتورلت در حوزه مکان اعمال می‌شود، انتظار می‌رود اطلاعات طیفی را به خوبی حفظ کند و اطلاعات مکانی را نیز

چندطیفی از یکدیگر جدا شده‌اند و اطلاعات مکانی تصاویر چندطیفی دور ریخته شده و به جای آن اطلاعات مکانی تصویر تکرنگ که دقت بالاتری دارد، قرار داده شده است.

۳- ادغام با استفاده از PCA مکانی

پوشش‌های زمینی، به‌طور عمومی رفتار یکسانی در باندهای مجاور در طیف الکترومغناطیسی از خود نشان می‌دهند. بنابراین در تصاویر چندطیفی اطلاعات افزونه وجود دارد (González, 2004). همان‌طور که گفته شد، مؤلفه اول اصلی شامل اطلاعات مشترک بین همه باندهای تصاویر چندطیفی است. این اطلاعات مشترک به عنوان اطلاعات مکانی تصاویر چندطیفی در نظر گرفته می‌شود. استخراج این اطلاعات مشترک و جای‌گذاری آن با تصویر تکرنگ، ایده اصلی استفاده از تبدیل PCA استاندارد در ادغام تصاویر بوده است. با توجه به این حقیقت که پیکسل‌های مجاور در یک تصویر با یکدیگر همسایگی بالایی دارند، در تصاویر تکرنگ نیز افزونه اطلاعات مکانی وجود دارد. بنابراین ایده PCA مکانی را می‌توان برای ادغام تصاویر بکار برد.

هنگامی که الگوریتم PCA استاندارد برای ادغام تصاویر به کار برده می‌شود، تصویر تکرنگ که شامل اطلاعات مکانی است، جانشین مؤلفه اول اصلی تصاویر چندطیفی می‌شود و بنابراین همه اطلاعات مکانی موجود در تصویر تکرنگ، در تصویر ادغام شده وجود دارد (González, 2004). علت این که الگوریتم PCA استاندارد اطلاعات مکانی را به خوبی حفظ می‌کند نیز همین موضوع است. اما این مقدار اطلاعات مکانی بیش از مقدار مورد نیاز است که موجب تزریق بیش از اندازه اطلاعات مکانی می‌شود و این موضوع باعث تخریب اطلاعات طیفی می‌شود.

برای جلوگیری از نقطه ضعف ذکر شده، الگوریتم PCA مکانی پیشنهاد می‌شود که روند نمای آن در شکل (۱) آورده شده است. مؤلفه اول اصلی در این روش، اطلاعات مشترک بین پیکسل‌های مجاور در مؤلفه‌های دیگر تبدیل متفاوت و اختصاصی هر پیکسل در مؤلفه‌های دیگر تبدیل PCA مکانی قرار دارند. مؤلفه اول اصلی را که شامل اطلاعات مشترک بین پیکسل‌های مجاور در تصویر تکرنگ است به عنوان اطلاعات طیفی با دقت پایین تصویر تکرنگ، می‌توان در نظر گرفت (در PCA استاندارد اطلاعات مشترک بین باندهای طیفی، اطلاعات مکانی با دقت پایین تصاویر طیفی در نظر گرفته می‌شود). در ادامه مؤلفه اول اصلی را که شامل اطلاعات طیفی با دقت پایین تصویر تکرنگ است با

آنها موجب شده است تصویر رنگی، کمی نوشهای به نظر برسد.

همان طور که در شکل (۲-پ) نمایش داده شده است، روش پیشنهادی PCA مکانی، اطلاعات طیفی و مکانی را به خوبی حفظ کرده است و از نظر معیار چشمی تصویر بسیار مناسبی است.

ارزیابی چشمی در ادغام تصاویر، به تنهایی کافی نیست؛ و معیارهای کمی متفاوتی به منظور ارزیابی تصاویر ادغام شده ارائه شده‌اند. این معیارها در دو سطح متفاوت قابل استفاده هستند.

سطح اول که سطح با دقّت مکانی بالا نامیده می‌شود، هنگامی است که تصاویر لندست و اسپات اولیه را ادغام کنیم و تصویر ادغام شده با دقّت دهمتر را به دست آوریم. در این سطح از ارزیابی، تصویر مرجعی را برای مقایسه نداریم و تنها باید تصویر ادغام شده را با دو تصویر تکرنگ و چندطیفی اولیه مقایسه کنیم. بدین منظور، یکی از معیارهای نوین و معتبر QNR است که به طور همزمان به هم ریختگی اطلاعات طیفی و مکانی را مدل می‌کند (Alparone 2008). معیار مناسب دیگر در سطح اول، براساس اطلاعات متقابل تعریف می‌شود. اطلاعات متقابل هرگونه وابستگی خطی و یا غیر خطی بین دو متغیر را آشکار می‌کند. اطلاعات متقابل بین دو تصویر A و B به صورت زیر تعریف می‌شود (Daneshvar, 2011):

$$MI(A, B) = \sum_{a,b} P_{AB}(a,b) \log \frac{P_{AB}(a,b)}{P_A(a)P_B(b)} \quad (4)$$

که در رابطه (۴) و P_A و P_B توزیع آماری تصاویر ورودی و P_{AB} توزیع آماری توازن تصاویر ورودی است. اگر اطلاعات متقابل بین تصویر ادغام شده (F) و تصویر تکرنگ اولیه (PAN) را برای هر باند از تصویر ادغام شده، محاسبه کنیم و میانگین آن را با $MI(F, PAN)$ نمایش دهیم و اطلاعات متقابل بین تصویر ادغام شده و تصویر چندطیفی اولیه (MS) را باند به باند حساب کنیم و میانگین آن را با $MI(F, MS)$ نمایش دهیم، ارزیابی با استفاده از این روش به صورت زیر تعریف می‌شود (Daneshvar, 2011):

$$I = \frac{MI(F, PAN) + MI(F, MS)}{2} \quad (5)$$

به درستی تزریق کند. نتایج ارزیابی‌های این مقاله نیز این پیش‌بینی را تأیید می‌کند.

۴- نتایج پیاده‌سازی و تحلیل آن

تصویر ماهواره لندست با دقّت مکانی سی‌متر و تصویر ماهواره اسپات با دقّت مکانی دهمتر به منظور بررسی نتایج ادغام، در این مقاله به کار می‌روند. از آنجایی که نسبت دقّت مکانی n در تصاویر اسپات و لندست ۳ به ۱ است، الگوریتم‌های مطرح و نوینی را که بر پایه تبدیل کانتورلت و موجک هستند را نمی‌توانیم به کار ببریم. برای مقایسه، الگوریتم‌های براوی (Wang 2005) و PCA و مدل‌لایسیون بالاگذر (Wang 2005) در نظر گرفته شده‌اند.

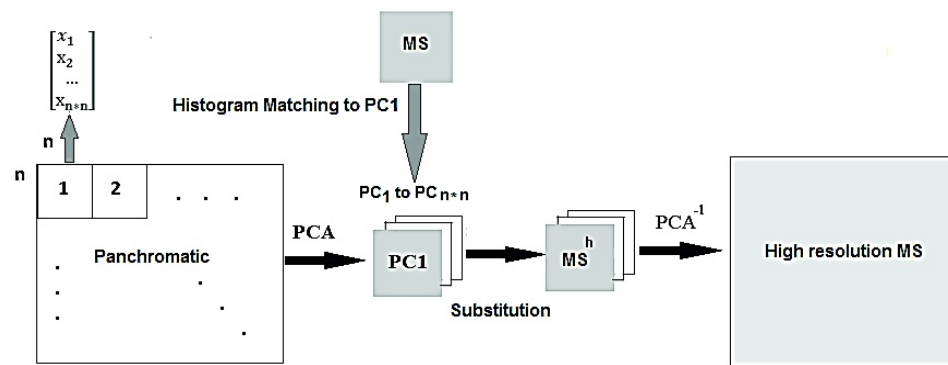
مقایسه چشمی به عنوان اولین گام در ارزیابی ادغام تصاویر به کار می‌رود. به منظور ارزیابی، باند ۴، ۳، ۲ تصاویر ماهواره لندست به عنوان تصاویر چندطیفی و تصویر ماهواره اسپات را به منظور تصویر تکرنگ در نظر می‌گیریم. شکل‌های (۲-الف) و (۲-ب) به ترتیب تصویر تکرنگ و تصویر چندطیفی اولیه را نمایش می‌دهند.

همان‌طور که در شکل (۲-ج) قابل مشاهده است، روش براوی اطلاعات مکانی را حفظ کرده است. اما اطلاعات طیفی در این تصویر به شدت تخریب شده است. در این تصویر علاوه بر این که رنگ در جزئیات، تخریب شده است (در ناحیه بزرگ‌نمایی شده قابل مشاهده است)، رنگ کلی تصویر نیز به هم ریخته است. به دلیل این که نتیجه تخمین با استفاده از روش براوی بایاس دارد (Ranchin 2000)، می‌توان به هم ریختگی رنگ کلی را، در تصویر ادغام شده می‌توان توجیه کرد.

روش‌های PCA استاندارد و IHS که در شکل‌های (۲-ث) و (۲-ج) قابل مشاهده هستند، اطلاعات مکانی تصویر تکرنگ اولیه را حفظ کرده‌اند؛ اما رنگ تصویر در جزئیات به هم ریخته است (رجوع شود به ناحیه بزرگ‌نمایی شده). این مسئله در روش PCA حادتر است؛ به طوری که رنگ سبز داخل ناحیه بزرگ‌نمایی شده به رنگ قرمز تغییر پیدا کرده است.

در شکل (۲-ت) نتیجه ادغام به کمک مدل‌لایسیون بالاگذر نشان داده شده است. فیلترهای استفاده شده در این روش، از نوع Boxcar (Wang 2005) هستند که نقطه ضعف اصلی این روش محسوب می‌شود. این نوع فیلترها ریپل‌های زیادی در حوزه فرکانس دارند (Wang 2005) و استفاده از

فصلنامه
پژوهش‌های
دوره‌ی دوازدهم



(شکل ۱): الگوریتم PCA مکانی جهت ادغام تصاویر. نسبت دقت مکانی بین تصاویر چندطیفی و تکرنس $n \times n$ فرض شده است. منظور از PC_1 مؤلفه اول اصلی و منظور از $PC_{n \times n}$ مؤلفه $n \times n$ اصلی است. MS نشان‌دهنده تصویر چندطیفی است، و علامت h بالای آن، نشان‌دهنده تصویر چندطیفی تطبیق هیستوگرام یافته است.

که در رابطه (۷)، T_1 آماره کافی و حاوی اطلاعات فرآیند تصاویر ادغام شده و T_2 آماره کافی فرآیند تصاویر چندطیفی و تکرنس اولیه است. ضرایب w_i و r_i با استفاده از بهینه‌سازی استاندارد متلب (دستور کمینه‌سازی تابع، در جمعیه بهینه‌سازی متلب)، طوری انتخاب می‌شوند تا رابطه (۸) را بیشینه کنند:

$$I = MI(T_1; T_2) \quad (8)$$

اگر رابطه (۸) بیشینه شود، یعنی T_1 و T_2 آماره کافی هستند و اطلاعات فرآیندهای مربوط به خود را به خوبی حفظ کرده‌اند. درنهایت کمیتی که از رابطه (۸) بدست می‌آید، به عنوان معیار ارزیابی پیشنهادی به کار می‌رود. مقادیر QNR، معیار اطلاعات متقابل و معیار پیشنهادی در روش‌های مختلف در جدول (۱) آورده شده‌اند.

سطح دیگری که به منظور ارزیابی به کار می‌رود، ارزیابی با استفاده از تصویر مرجع یا ارزیابی در سطح دقت مکانی پایین است. برای ارزیابی در این سطح، ابتدا وضوح تصویر تکرنس و تصویر چندطیفی اولیه را با استفاده از یک فیلتر پایین گذر گوسی تخریب می‌کنیم؛ به طوری که دقت مکانی تصویر تکرنس برابر با سی‌متر و دقت مکانی تصویر چندطیفی برابر با نومنت خواهد شد. سپس این دو تصویر را ادغام می‌کنیم تا تصویر ادغام شده‌ای با دقت مکانی سی‌متر به دست آوریم و آن را به کمک معیارهای مختلف ارزیابی، با تصویر چند طیفی سی‌متر اولیه مقایسه کنیم (Nuñez 1999، Mahyari 2011). در این مقاله برای مقایسه در این سطح (ارزیابی با استفاده از تصویر مرجع)، از چهار معیار پرکاربرد استفاده می‌کنیم:

نقطه ضعف اصلی این روش این است که اطلاعات جمع‌بندی نیست و میانگین‌گیری از اطلاعات طیفی و مکانی که در رابطه (۵) نشان داده شده است، معیار درستی نیست. از طرف دیگر هنگامی که اطلاعات متقابل بین تصویر چندطیفی شده را یکبار با تصویر تکرنس و یکبار با تصویر چندطیفی حساب می‌کنیم، اطلاعات مشترک بین تصویر تکرنس و تصویر چندطیفی اولیه، دوبار حساب می‌شود. استفاده از رابطه (۵) تنها هنگامی صحیح است که تصویر تکرنس و تصویر چندطیفی از یکدیگر مستقل باشند اما چون تصویر تکرنس و چندطیفی از یک صحنه هستند، بهطور کامل به هم وابسته هستند. بنابراین بهمنظور جلوگیری از نقطه ضعف بیان شده، در این مقاله معیار دیگری با استفاده از مفهوم اطلاعات متقابل ارائه می‌شود. اگر فرض کنیم F_1 تا F_N باندهای تصویر ادغام شده باشند و PAN تصویر تکرنس باشد و MS_1 تا MS_N باندهای تصویر چندطیفی اولیه باشند، اطلاعات متقابل بین تصویر ادغام شده و تصویر چندطیفی و تکرنس اولیه را به صورت زیر تعریف می‌کنیم:

$$I = MI(F_1, F_2, \dots, F_N; PAN, MS_1, MS_2, \dots, MS_N) \quad (9)$$

اما هنگامی که تعداد متغیرها افزایش می‌یابد، دقت تخمین اطلاعات متقابل به صورت نمایی افت می‌کند (Liu 2001)، در چنین شرایطی با استفاده از آماره کافی * اطلاعات متقابل را تخمین می‌زنند (Po 2006). آماره کافی فرآیندی است که نماینده و حاوی اطلاعات فرآیند دیگری است. داریم:

$$T_1 = \sum_{i=1}^N w_i |F_i|, T_2 = \sum_{i=1}^N r_i |MS_i| + r_0 |PAN| \quad (10)$$

*Sufficient Statistic

$$Q = \frac{\sigma_{FR}}{\sigma_R \sigma_F} \frac{2m_R m_F}{m_R^2 + m_F^2} \frac{2\sigma_R \sigma_F}{\sigma_R^2 + \sigma_F^2} \quad (12)$$

که در این رابطه، σ_F و σ_R به ترتیب انحراف از معیار استاندارد تصویر ادغام شده و تصویر مرجع را نشان می‌دهند. این معیار شامل ترکیب سه معیار متفاوت است؛ به طوری که کاهش همبستگی خطی، اعوجاج شدت نور و اعوجاج روشنایی را آشکار می‌کند (Alparone 2008). در صورتی که تصویر مرجع و تصویر ادغام شده یکسان باشند، این مقدار بیشینه و برابر با یک خواهد شد.

۴- معیار SAM و SAM

معیار SAM بین هر باند از تصویر ادغام شده و تصویر مرجع به صورت زیر قابل محاسبه است (Alparone 2008)

$$SAM(u, \hat{u}) = Arc \cos \left(\frac{\langle u, \hat{u} \rangle}{\| u \| \times \| \hat{u} \|} \right) \quad (13)$$

که در رابطه (۱۳)، بردار $u = \{F_1, F_2, \dots, F_N\}$ برای هر پیکسل حاوی مقدار باندهای ادغام شده در همان پیکسل، و بردار $\hat{u} = \{R_1, R_2, \dots, R_N\}$ حاوی مقدار باندهای تصویر مرجع است. عملگر $\langle \cdot, \cdot \rangle$ بیان گر ضرب داخلی بین دو بردار و عملگر $\| \cdot \|$ بیان گر اندازه بردار است. رابطه (۱۳) برای هر پیکسل محاسبه می‌شود. با استفاده از میانگین گیری از رابطه (۱۳) بر روی همه پیکسل‌ها، معیار نهایی به منظور ارزیابی به دست می‌آید.

جدول شماره (۲)، ارزیابی تصاویر ادغام شده را با استفاده از معیارهای بیان شده نشان می‌دهد. برای بررسی بیشتر، روش‌های موجود در ادغام تصاویر و روش پیشنهادی را بر روی یک مجموعه داده دیگر که توسط ماهواره آیکونوس تهیه شده است، پیاده‌سازی می‌کنیم. نتایج پیاده‌سازی برای تصویر تکرنگ و چندطیفی در شکل (۳) نمایش داده شده اند. جداول (۳) و (۴) نتایج ارزیابی تصویر آیکونوس را به ترتیب، در سطح دقّت مکانی بالا و سطح دقّت مکانی پایین نشان می‌دهند.

همان‌طور که از جدول (۱) تا (۴) مشخص است، روش پیشنهادی توانسته است اطلاعات مکانی و طیفی را به طور همزمان حفظ کند.

۱- معیار همبستگی خطی:

این معیار مقدار وابستگی خطی بین دو متغیر را آشکار می‌کند. مقدار بیشینه آن برابر با یک است و برای دو تصویر مرجع R و ادغام شده F به صورت زیر محاسبه می‌شود (Nuñez 1999):

$$Corr(R, F) = \frac{\sum_{j=1}^{npix} (F_j - m_F)(R_j - m_R)}{\sqrt{\sum_{j=1}^{npix} (F_j - m_F)^2 \sum_{j=1}^{npix} (R_j - m_R)^2}} \quad (9)$$

که در رابطه (۹)، m بیان گر میانگین تصویر است. برای ارزیابی با این روش، مقدار همبستگی خطی بین هر باند از تصویر ادغام شده و تصویر مرجع محاسبه می‌شود. مقدار میانگین همبستگی‌های به دست آمده، معیار نهایی به منظور ارزیابی است.

۲- معیار ERGAS

معیار ERGAS به صورت رابطه (۱۰) تعریف می‌شود (González 2004):

$$ERGAS = 100 \frac{h}{l} \sqrt{\frac{1}{N} \sum_{i=1}^N \frac{RMSE^2(F_i, R_i)}{m_{R_i}^2}} \quad (10)$$

که در رابطه (۱۰)، h دقّت مکانی تصویر تکرنگ، l دقّت مکانی تصویر چندطیفی و m_{R_i} میانگین باند i ام تصویر مرجع است.

هذا معیار (Root Mean Square Error) RMSE در رابطه (۱۰)، بین هر باند از تصویر ادغام شده و مرجع توسط رابطه زیر محاسبه می‌شود:

$$RMSE(F_i, R_i) = \sqrt{\frac{\sum_{x=1}^L \sum_{y=1}^K (F_i(x,y) - R_i(x,y))^2}{K \times L}} \quad (11)$$

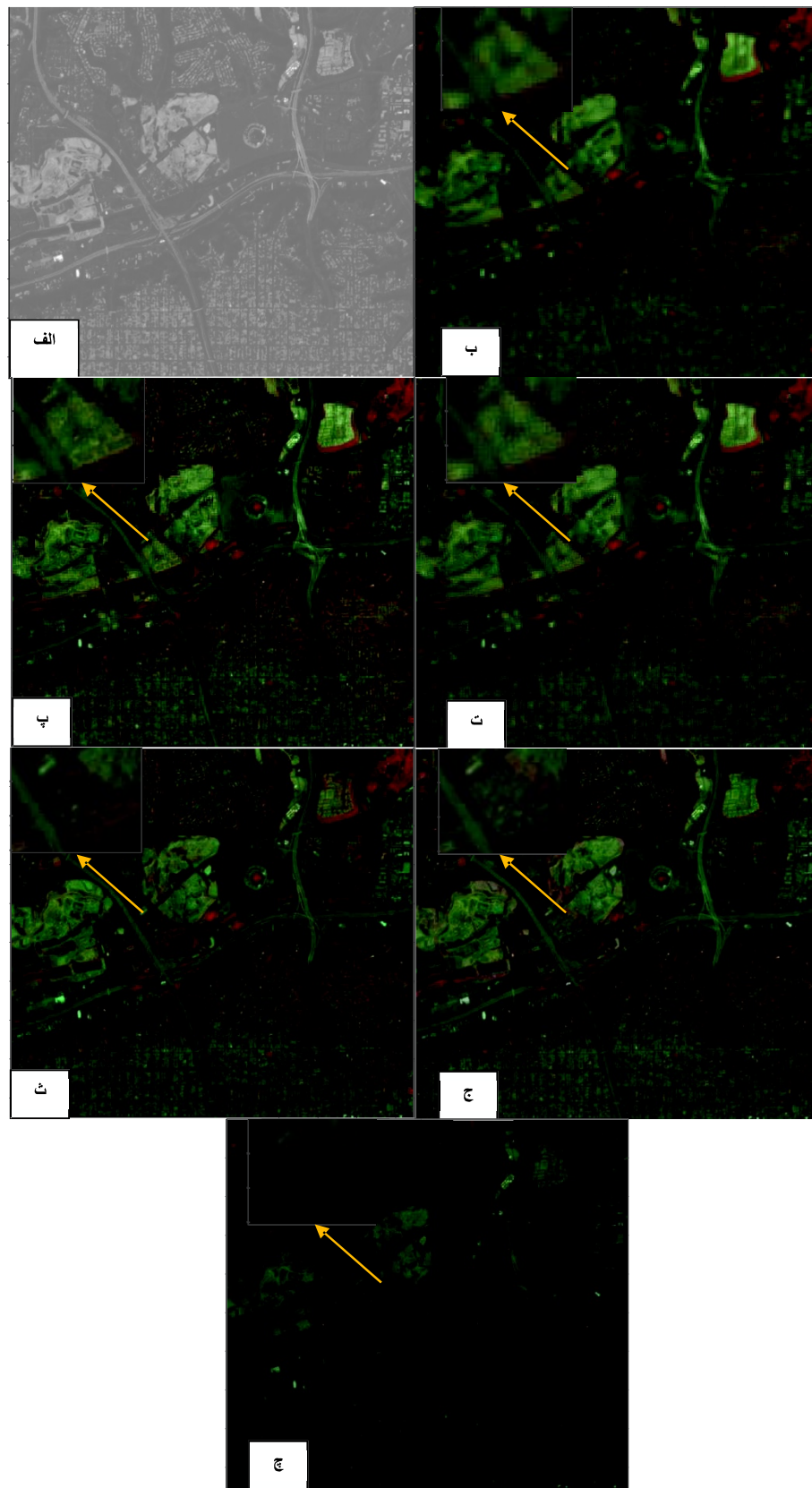
که در رابطه (۱۱)، x و y شماره پیکسل‌ها هستند و تصویر مرجع و تصویر ادغام شده هر دو K پیکسل در L پیکسل هستند.

هر قدر مقدار ERGAS کمتر باشد، تصویر ادغام شده به تصویر مرجع نزدیک‌تر است.

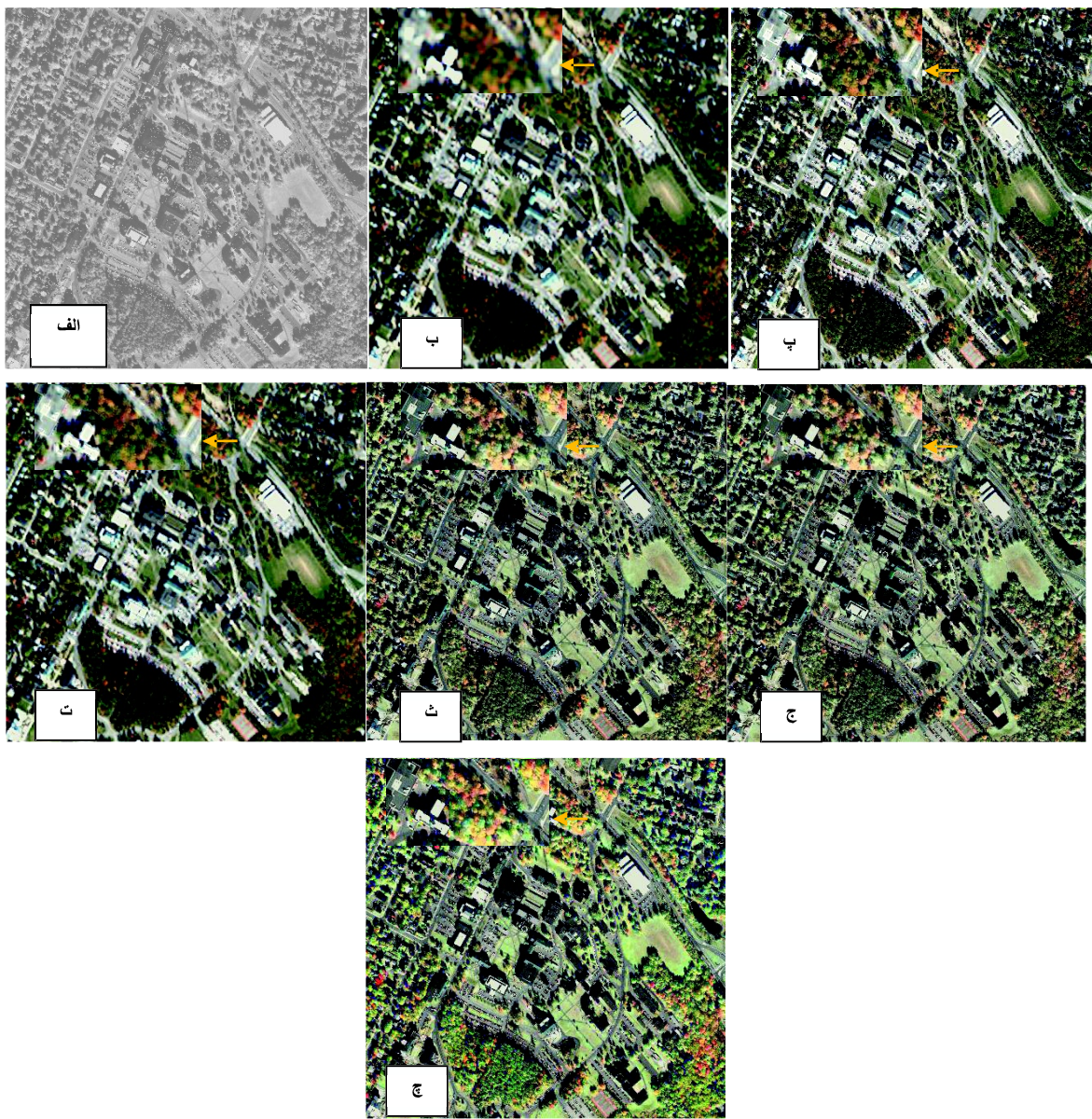
۳- معیار UIQI

معیار UIQI برای دو تصویر مرجع R و ادغام شده F به صورت زیر است (Alparone 2008):

فصلنامه
پژوهش‌های
دوزاره‌های
علمی



(شکل ۲): (الف) تصویر تکریگ اولیه (ب) تصویر چند طیفی (رنگی) اولیه (پ) روش پیشنهادی PCA مکانی (ت) روش مدولاسیون بالاگذر (ث) روش PCA استاندارد (ج) روش IHS (چ) روش براوی



(شکل ۳): (الف) تصویر تکرنگ اولیه ب) تصویر چندطیفی (رنگی) اولیه پ) روش پیشنهادی PCA مکانی
ت) روش مدولاسیون بالاگذر ث) روش PCA استاندارد ج) روش IHS

(جدول ۱): ارزیابی تصاویر ادغام شده در سطح دقّت مکانی بالا برای تصاویر لندست و اسپات

IHS	PCA	براوی	مدولاسیون بالا گذر	مکانی پیشنهادی	PCA	روش ها
0.791	0.809	0.774	0.793	0.875		QNR
0.576	0.597	0.574	0.641	0.661		اطلاعات متقابل
0.695	0.714	0.698	0.712	0.736		ارزیابی پیشنهادی

فصلنامه
پژوهیزی دوره اول

(جدول ۲): ارزیابی تصاویر ادغام شده در سطح دقّت مکانی پایین برای تصاویر لندست و اسپات

IHS	PCA	براوی	مدولاسیون بالا گذر	PCA مکانی پیشنهادی	روش‌ها
0.840	0.862	0.855	0.871	0.935	همبستگی خطی
4.19	4.20	3.89	3.27	2.32	ERGAS
0.825	0.818	0.785	0.821	0.849	UIQI
5.36	4.73	5.37	3.42	2.88	SAM

(جدول ۳): ارزیابی تصاویر ادغام شده در سطح دقّت مکانی بالا برای تصاویر آیکونوس

IHS	PCA	براوی	مدولاسیون بالا گذر	PCA مکانی پیشنهادی	روش‌ها
0.833	0.872	0.824	0.838	0.914	QNR
1.10	1.11	1.04	1.18	1.24	اطلاعات متقابل
1.23	1.25	1.14	1.20	1.33	ارزیابی پیشنهادی

(جدول ۴): ارزیابی تصاویر ادغام شده در سطح دقّت مکانی پایین برای تصاویر آیکونوس

IHS	PCA	براوی	مدولاسیون بالا گذر	PCA مکانی پیشنهادی	روش‌ها
0.890	0.899	0.874	0.907	0.951	همبستگی خطی
4.01	3.99	4.28	2.75	1.96	ERGAS
0.861	0.866	0.813	0.885	0.903	UIQI
3.79	3.68	4.24	2.56	1.72	SAM

جديد پیشنهاد و دلایل برتری اين روش ارزیابی را بيان کردیم. جدول‌های ارزیابی در دو سطح با دقّت مکانی بالا و پایین، برتری روش پیشنهادی را نشان دادند.

مراجع

Ghassemian, H., 2001. Multisensor image fusion by multiscale filter banks, Proceeding of IEEE International Conference on Image Processing ICIP2001, pp. 846–849.

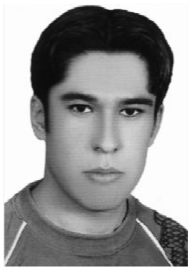
Ghassemian, H., 2009. Multi-sensor remote sensing image fusion based on Retina-Inspired model, IEEE Symposium on Industrial Electronics & Applications, ISIEA, pp. 500–505.

Daneshvar, S. and Ghassemian, H., 2011. MRI and PET image fusion by combining IHS and retina-inspired models, Information Fusion, Vol. 11, No. 2, pp. 114–123.

González-Audicana, M., Saleta, J. L., Catalán, R. G. and García, R., 2004. Fusion of multispectral and panchromatic images using improved IHS and سال ۱۳۹۲ شماره ۱ پیاپی ۱۹

۵- نتیجه‌گیری

در این مقاله روشی نوین به منظور ادغام تصاویر چندطیفی و تکرنسگ ارائه شد که می‌تواند نقطه ضعف اصلی استاندارد را برطرف کند. این روش که بر مبنای PCA در حوزه مکان عمل می‌کند، قادر است به خوبی اطلاعات طیفی و مکانی را حفظ کند. الگوریتم‌هایی که بر پایه تبدیل موجک و کانتورلت واقع شده‌اند، در شرایطی کاربرد دارند که نسبت دقّت مکانی بین تصویر تکرنسگ و چندطیفی توانی از دو باشد. اما الگوریتم پیشنهادی چنین محدودیتی ندارد. در ادامه با استفاده از ارزیابی چشمی، استدلال کردیم که الگوریتم پیشنهادی نسبت به سایر روش‌ها برتر است. سپس روش‌های ارزیابی موجود را در سطح دقّت مکانی بالا و سطح دقّت مکانی پایین (ارزیابی با استفاده از تصویر مرجع) معرفی کردیم و بر پایه اطلاعات متقابل، یک روش ارزیابی



حمید رضا شاهدوستی متولد ۱۳۶۳ تحصیلات متوسطه خود را در همدان سپری و در سال ۱۳۸۶ در رشته مهندسی پزشکی از دانشگاه صنعتی امیرکبیر مدرک کارشناسی خود را اخذ کرد و سپس تحصیلات خود را در رشته مخابرات سیستم در

دانشگاه صنعتی شریف ادامه داد. وی در سال ۱۳۸۸ موفق به اخذ مدرک کارشناسی ارشد شد و در سال ۱۳۸۹ در مقطع دکتری دانشگاه تربیت مدرس در رشته مخابرات سیستم پذیرفته شد. ایشان هم‌اکنون در حال گذراندن دوره دکتری است. پردازش تصویر، پردازش سیگنال‌های راداری، گیرنده و فرستنده‌های مخابراتی از جمله سرفصل‌های پژوهشی مورد علاقه ایشان است.

نشانی رایانماء ایشان عبارتست از:

Hamidreza.shahdoosti@modares.ac.ir



محمد حسن قاسمیان یزدی

تحصیلات کارشناسی خود را در رشته مهندسی مخابرات در سال ۱۳۵۸ در دانشکده مخابرات ایران به پایان رساند. ایشان مدارک کارشناسی ارشد و دکترای خود را در رشته مخابرات از دانشگاه پردو امریکا به ترتیب در سال ۱۳۶۳ و ۱۳۶۷ اخذ کرد. و پس از آن به عنوان عضو هیئت علمی دانشگاه تربیت مدرس به تدریس و پژوهش پرداخت. ایشان در حال حاضر، استاد دانشگاه تربیت مدرس است. آنالیز و پردازش تصاویر از منابع چندگانه، پردازش اطلاعات و تشخیص الگو، سنجش از دور، مهندسی سامانه‌های تشخیص الگو، پردازش تصاویر و سیگنال‌های مهندسی پزشکی از جمله سرفصل‌های پژوهشی مورد علاقه‌شان است.

نشانی رایانماء ایشان عبارتست از:

ghassemi@modares.ac.ir

PCAMergers based on wavelet decomposition, IEEE Transaction on Geoscience and RemoteSensing, Vol. 42, No. 6, pp. 1291–1299.

Laben, C. A. and Brower, B. V., 2000. Process for enhancing the spatial resolution of multispectral imagery using pan-sharpening, U.S. Patent 6,011,875.

Cakir, H. I. and Khorram, S., 2008. Pixel Level Fusion of Panchromatic and Multispectral Images Based on Correspondence Analysis, Photogrammetric Engineering and Remote Sensing, Vol. 74, No. 2, pp. 183–192.

Pohl, C. and Genderen, J. L., 1998. Multisensor image fusion in remote sensing: Concepts, methods and applications, International Journal of Remote Sensing, Vol. 19, No. 5, pp. 823–854.

Wilson, T. A., Rogers, S. K. and Kabrisky, M., 1997. Perceptual-based image fusion for hyperspectral data, IEEE Transaction on Geoscience and RemoteSensing, Vol. 35, No. 4, pp. 1007–1017.

Nuñez, J., Otazu, X., Fors, O., Prades, A., Palà, V., and Arbiol, R., 1999. Multiresolution-based image fusion with additive wavelet decomposition, IEEE Transaction on Geoscience and RemoteSensing, Vol. 37, No. 3, pp. 1204–1211.

Mahyari, A. G. and Yazdi, M., 2011. Panchromatic and Multispectral Image Fusion Based on Maximization of Both Spectral and Spatial Similarities, IEEE Transaction on Geoscience and RemoteSensing, Vol. 49, No. 6, pp. 1976–1985.

Wang, Z., Ziou, D., Armenakis, C., Li, D. and Li, Q., 2005. A Comparative Analysis of Image Fusion Methods, IEEE Transaction on Geoscience and RemoteSensing, Vol. 43, No. 6.

Valavi, R. and Ghassemian, H., 2004. A fusion Approach of Multi-Sensor Remote Sensing Data Based on Retina Model, Proceedings of 12th Iranian Conference on Electric Engineering.

Ranchin, T. and Wald, L., 2000. Fusion of high spatial and spectral resolution images: The ARSIS concept and its implementation, Photogrammetric Engineering and Remote Sensing, Vol. 66, No. 1, pp. 49–61.

Alparone, L., Aiazzi, B., Baronti, S., Garzelli, A., Nencini F. and Selva, M., 2008. Multispectral and panchromatic data fusion assessment without reference, Photogrammetric Engineering and Remote Sensing, Vol. 74, No. 2, pp. 193–200.

Liu, J. and Moulin, P., 2001. Information-theoretic analysis of interscale and intrascale dependencies between image wavelet coefficients, IEEE Transaction on Image Processing, Vol. 10, No. 11, pp. 1647–1658.

Po, D. D.-Y. and Do, M. N., 2006. Directional multiscale modeling of images using the contourlet transform, IEEE Transaction on Image Processing, Vol. 15, No. 6, pp. 1610–1620.

سال ۱۳۹۲ شماره ۱ پیاپی ۱۹



فصلنامه
پردازش داده